

図 3.4.33 夏季における地衡流東西成分 (U) の南北断面分布 (130°E)

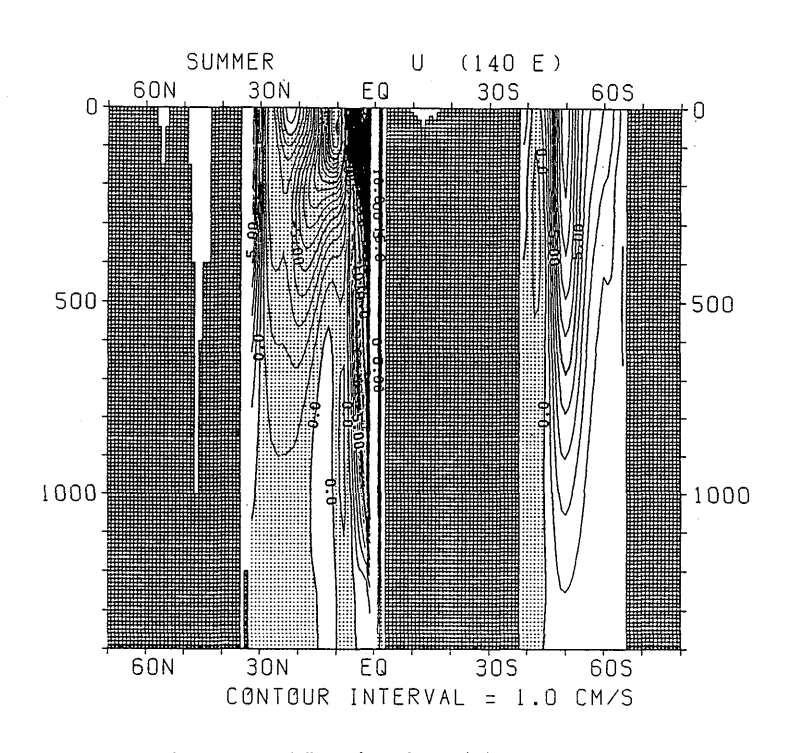


図 3.4.34 夏季における地衡流東西成分 (U) の南北断面分布 (140°E)

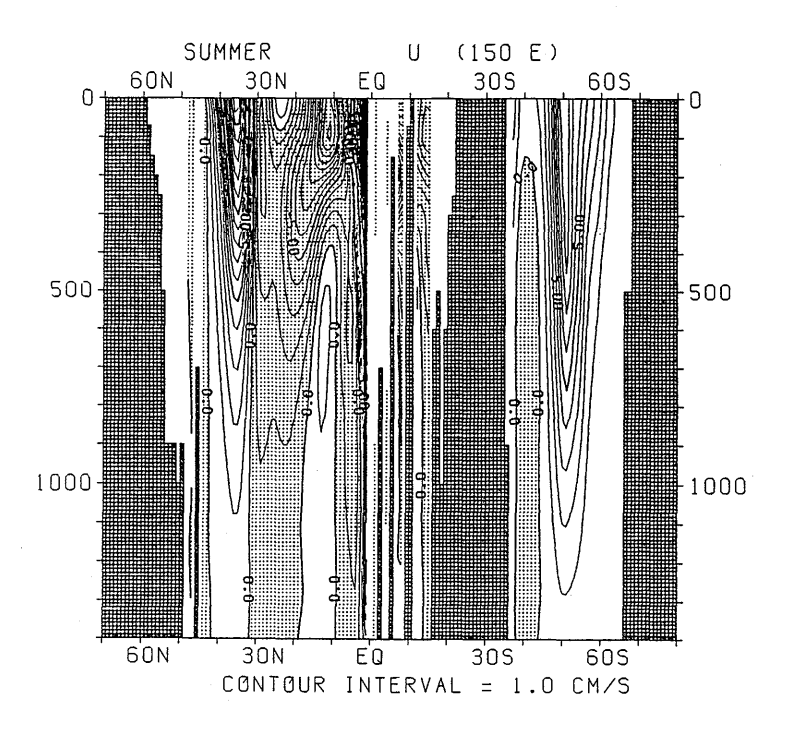


図 3.4.35 夏季における地衡流東西成分 (U) の南北断面分布 $(150^{\circ}\mathrm{E})$

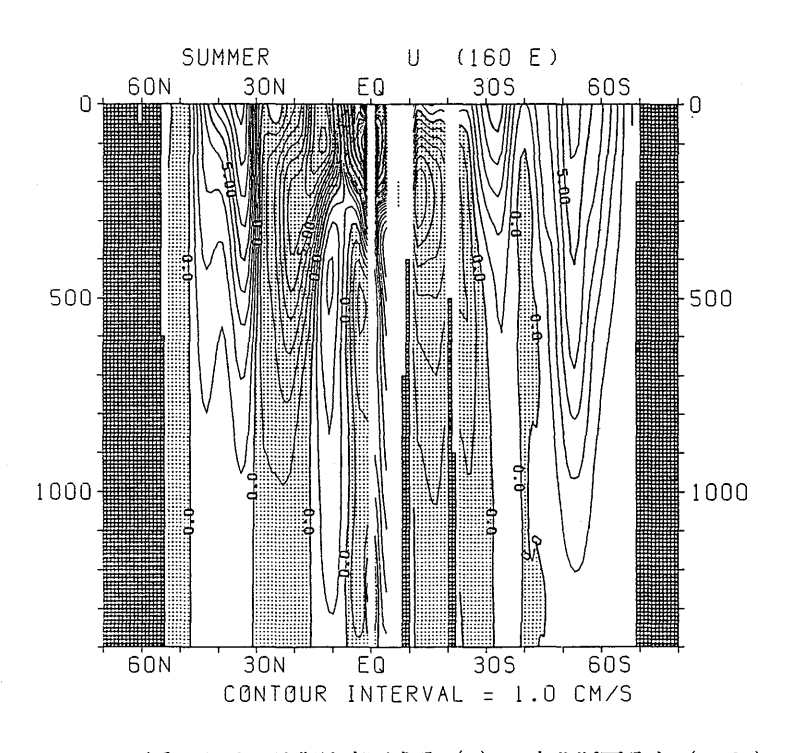


図 3.4.36 夏季における地衡流東西成分 (U) の南北断面分布 (160°E)

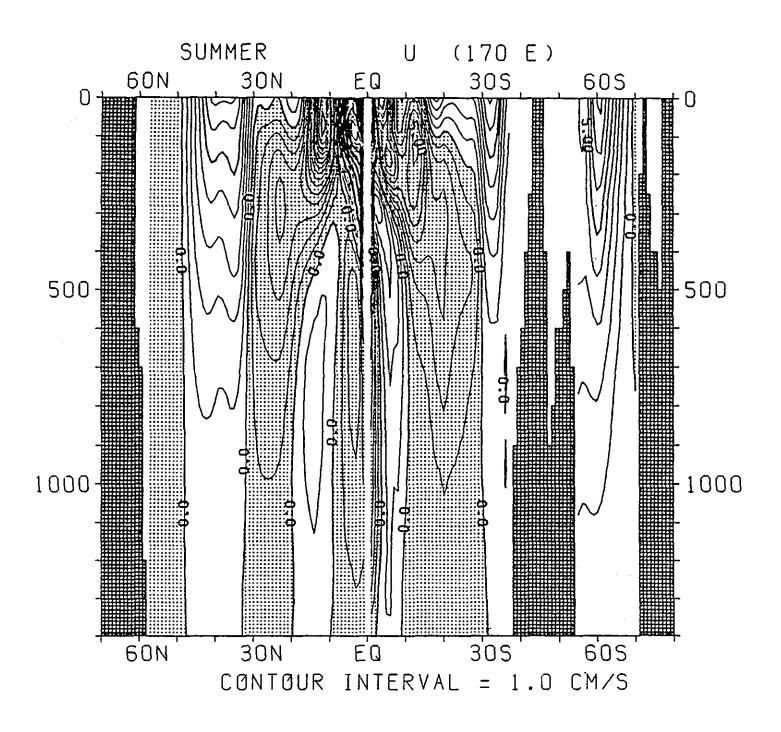


図 3.4.37 夏季における地衡流東西成分 (U) の南北断面分布 (170°E)

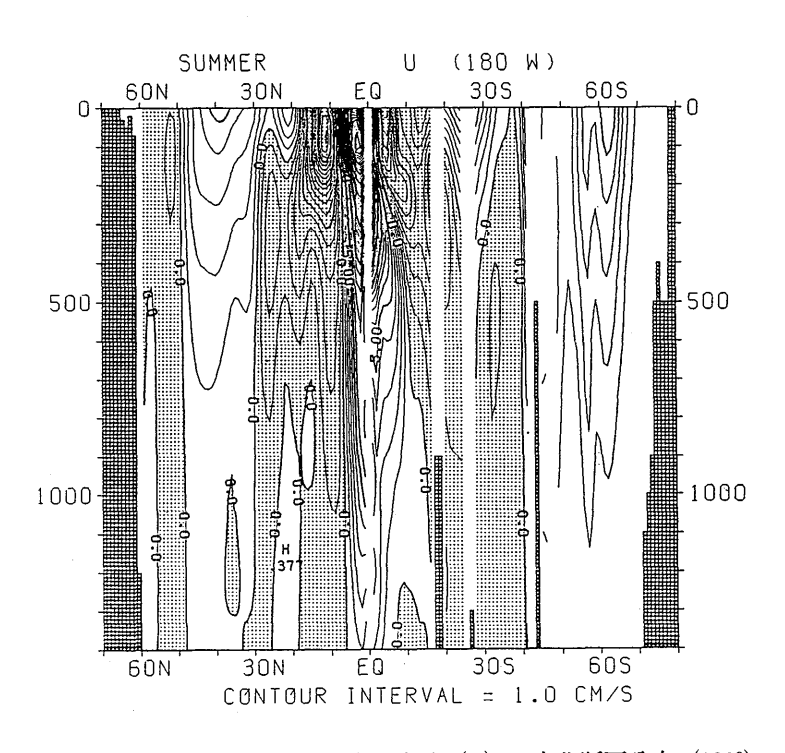


図 3.4.38 夏季における地衡流東西成分 (U) の南北断面分布 (180°)

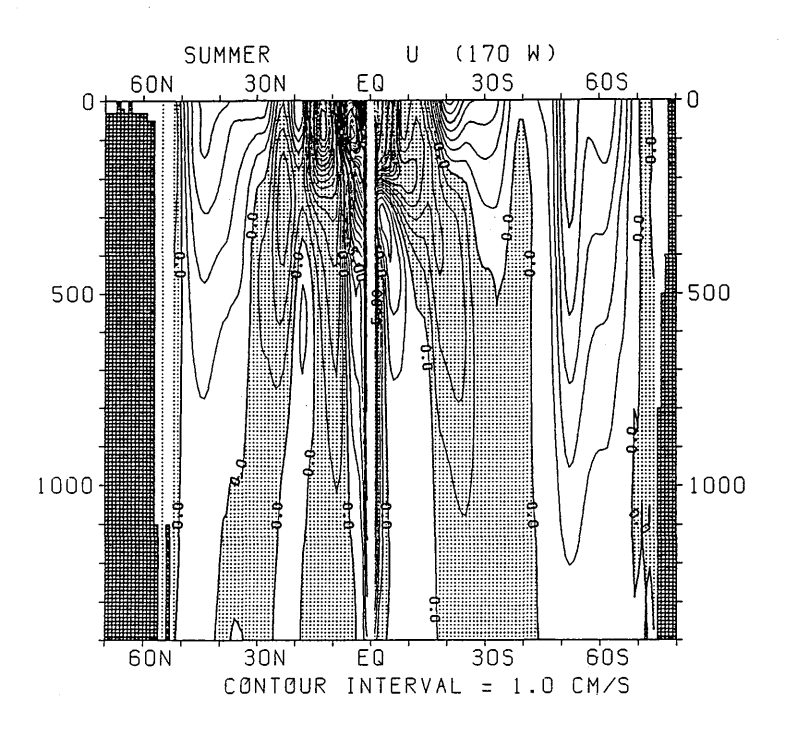


図 3.4.39 夏季における地衡流東西成分 (U) の南北断面分布 (170°W)

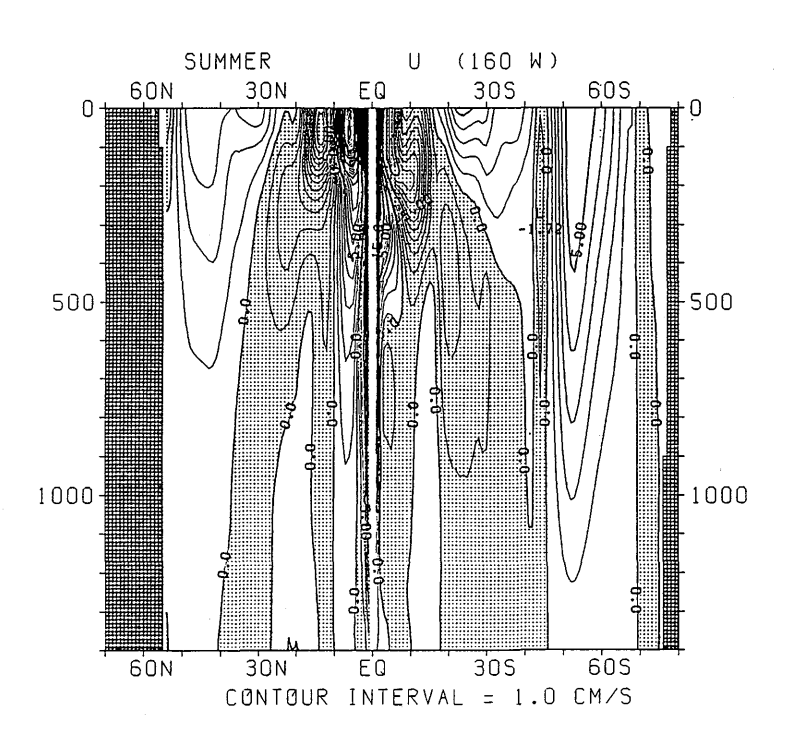


図 3.4.40 夏季における地衡流東西成分 (U) の南北断面分布 (160°W)

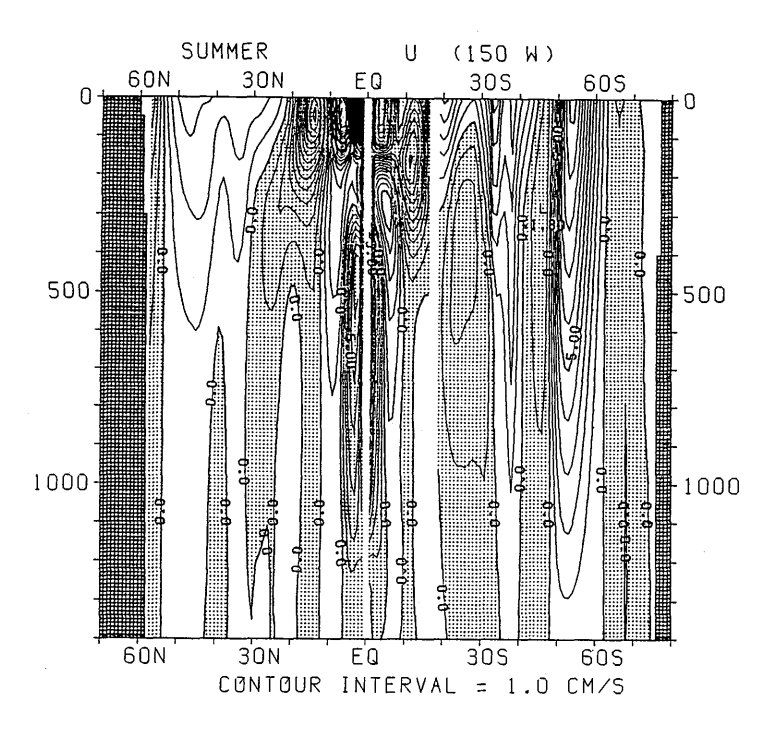


図 3.4.41 夏季における地衡流東西成分 (U) の南北断面分布 (150°W)

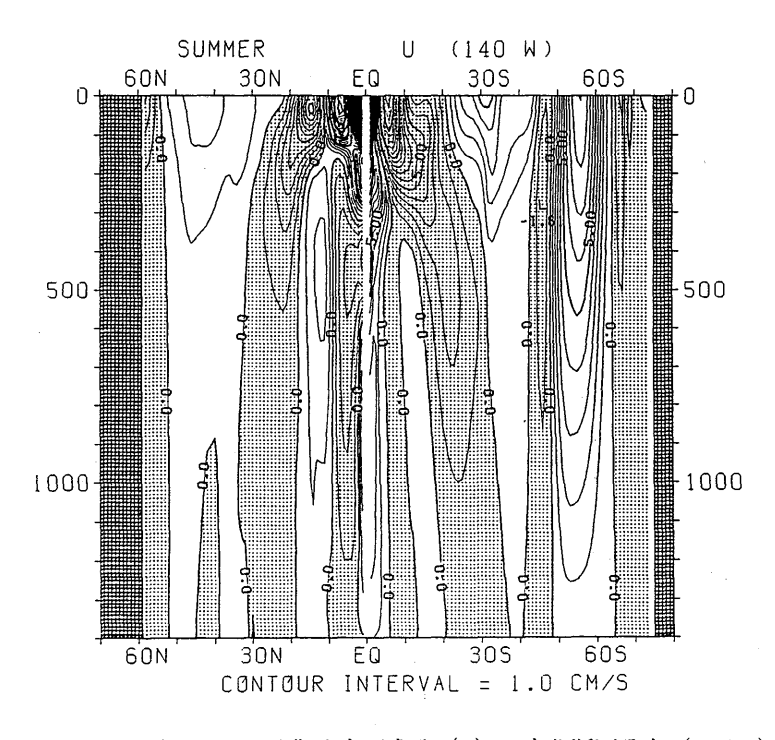


図 3.4.42 夏季における地衡流東西成分 (U) の南北断面分布 (140°W)

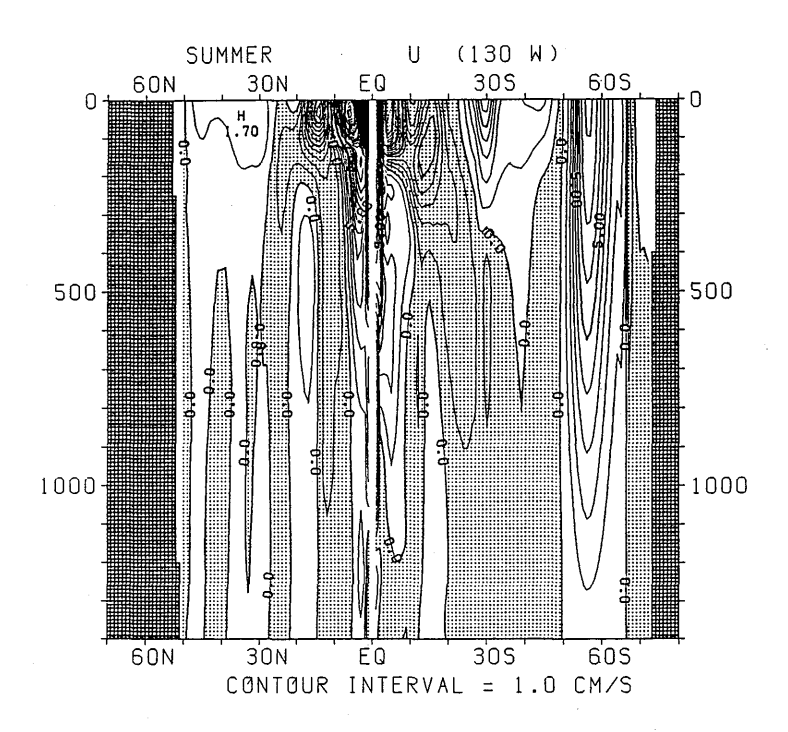


図 3.4.43 夏季における地衡流東西成分 (U) の南北断面分布 (130°W)

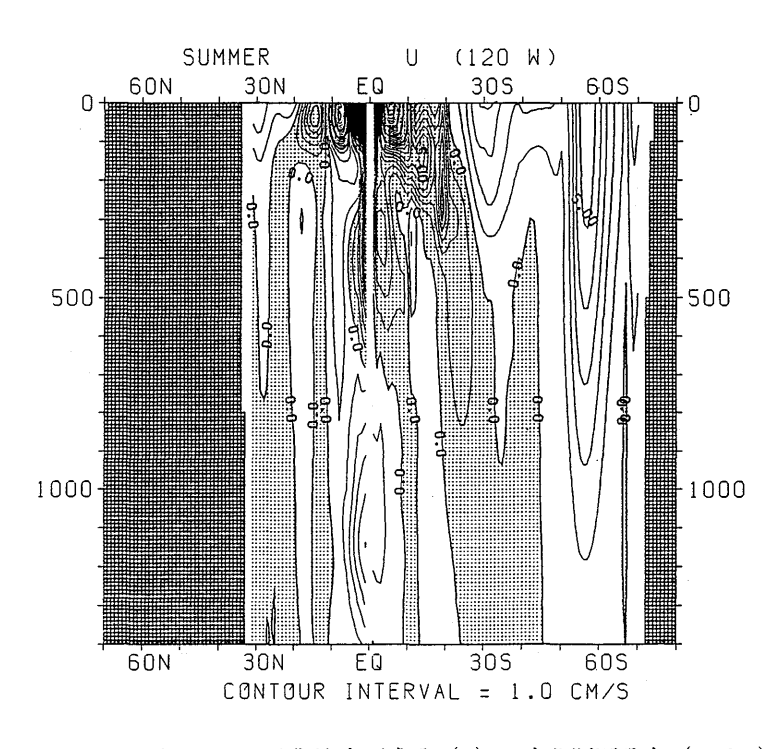


図 3.4.44 夏季における地衡流東西成分(U)の南北断面分布(120°W)

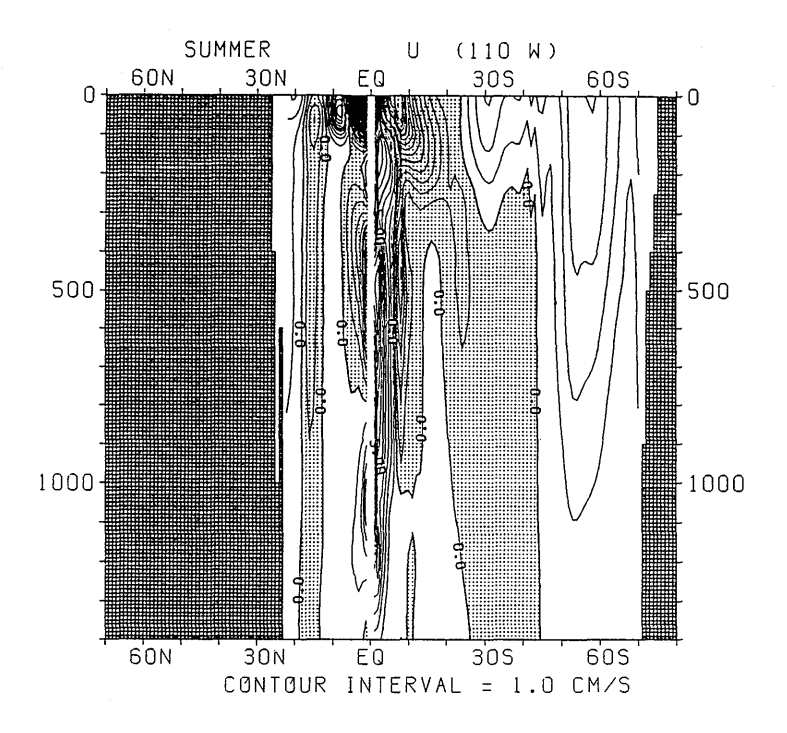


図 3.4.45 夏季における地衡流東西成分 (U) の南北断面分布 (110°W)

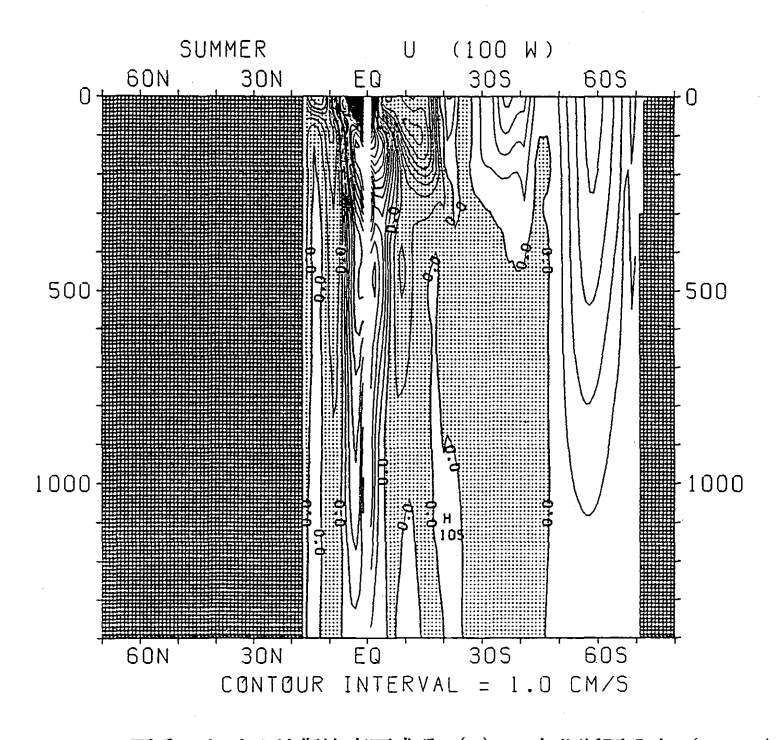


図 3.4.46 夏季における地衡流東西成分 (U) の南北断面分布 (100°W)

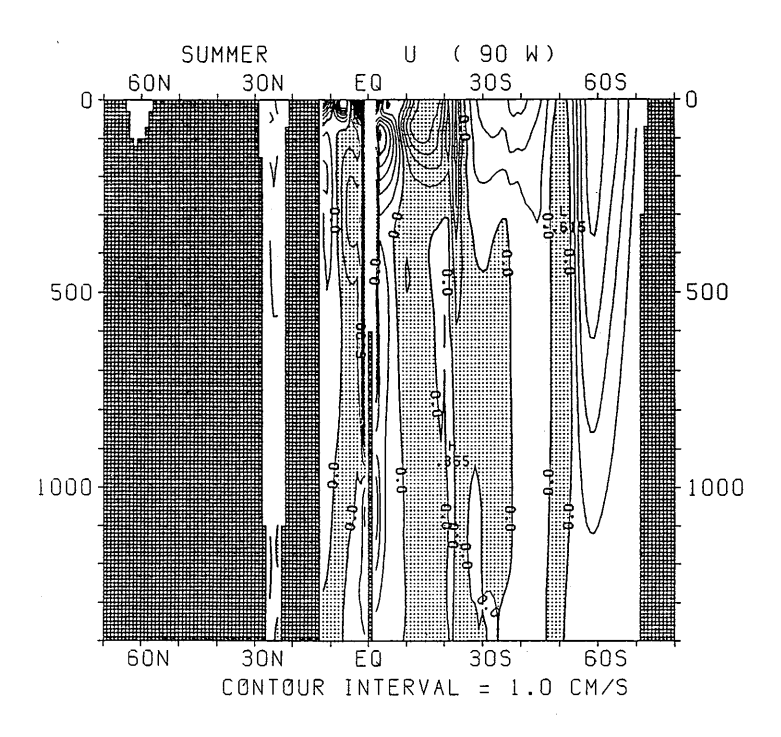


図 3.4.47 夏季における地衡流東西成分(U)の南北断面分布(90°W)

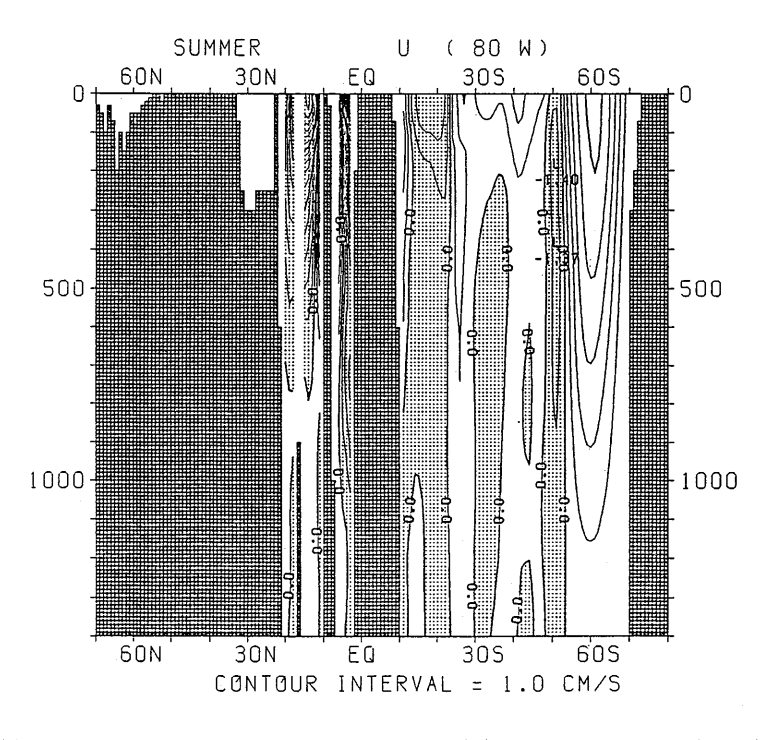


図 3.4.48 夏季における地衡流東西成分(U)の南北断面分布(80°W)